

رهیافتی ژئوشیمیایی و زمین آماری برای منشأ نهشته های بوکسیت سرفاریاب، استان کهگیلویه و بویر احمد، جنوب باخته ایران

فرهاد احیاء^۱* و محمد لطفی^۲

اگروه زمین‌شناسی دانشگاه آزاد اسلامی واحد بهبهان، بهبهان، ایران

دانشگاه آزاد اسلامی واحد تهران شمال، تهران، ایام ان

۱۳۸۷ / ۰۴ / ۳۱ : تاریخ پذیرش :

۱۳۸۶/۰۶/۲۷ بافت: دخانیات

جگہ

نهشته‌های بوکسیت سرفاریاب در فرورفتگی‌های کارستی واقع در بالای سنگ‌های آهکی سازند سروک به سن سونمانین تا تورونین زیرین، که در زیر سنگ‌های آهکی سازند ایلام به سن سانتونین قرار می‌گیرند، رخ می‌دهند. به منظور تعیین منشأ احتمالی این نهشته‌ها، چند نمونه از سازند سروک، ترازارا و کانسنگ بوکسیت گردآوری و از نظر ژئوشیمیابی و زمین آماری تجزیه شده‌اند. نمودارهای داده‌های شیمیابی و ضرایب همیستگی نشان می‌دهند که عناصر Cr, Ti, Al, Nb, Zr و V در حین فرایند بوکسیتی شدن نامتحرك بوده‌اند. در نمودارهای پراکنده‌گی عناصر Zr, TiO₂, Al₂O₃, Al, خطوط رگرسیون از مبدأ می‌گذرند و ترازارا در بین سازند سروک و بوکسیت قرار می‌گیرد. براساس این تحقیق، می‌توان منشأ نهشته‌های بوکسیت سرفاریاب، سازند سروک بوده و ترازارا یک محصول حدواسط در تبدیل سنگ آهک به بوکسیت است. در نتیجه بالا آمدگی پس از تورونین، سنگ آهک سازند سروک در معرض هوازدگی کارستی قرار گرفته و لایه‌ای از خرده‌های رسی در سطح آن اباشته و به طور بخشی به بوکسیت تبدیل شده است. به دنبال فرونوشنی، نهشته‌های بوکسیت به وسیله رسوبگذاری سنگ‌های آهکی سازند ایلام حفظ شده است. بالا آمدگی در زمان بیلوسی همراه با فراسایش، بعدی، نهشته‌های بوکسیت را در وضعیت کثونی، ظاهر کرد.

کلید واژه‌ها: به کیست، زئو ششم، زمین آمار، ترازو، سازند سروک، سرفار باب.

*نوه سندھ مسئوٰ : فہاد احیا

مقدمة - 1

منطقه مورد مطالعه در ۴۰ کیلومتری خاور- شمال خاور شهرستان دهدشت در استان کهکیلویه و بویراحمد واقع است (شکل ۱). بیش از ۱۲۹ عدسي بوکسيت توسيط شرکت Strojexport از جمهوری چك طی سال هاي ۱۹۸۷ تا ۱۹۹۴ و کارشناسان طرح بوکسيت (وزارت معادن و فلزات، ۱۳۷۳) در منطقه سرفارياب اكتشاف شده است. ذخيري نهشته هاي بوکسيت در اين بررسى ها بالغ بر ۳۳۰۰۰ تن برآورد شده است. اين نهشته ها بخشى از کمرنگ نهشته هاي بوکسيت منطقه زاگرس را تشکيل مي دهند. نهشته هاي بوکسيت در منطقه مورد مطالعه در ۴ ناحيه قرار دارند که عبارتند از: ناحيه مندان، يال شمالي تاقديس کوه سياه، يال شمالي تاقديس کوه نيل و يال شمالي و جنوبي تاقديس کوه دلف (شکل ۲). نهشته هاي موجود در يال شمالي تاقديس کوه نيل به دليل نبود جاده مناسب و دسترسی مشکل به آنها، در اين مطالعه بررسی نشده اند.

در برخی از نهشته‌های بوکسیت، منبع Al مدت زمان زیادی موردنی بحث بوده است (Gow & Lozej, 1993). بسیاری از بوکسیت‌ها را می‌توان از طریق بافت و ژئوشیمی به‌طور مستقیم به سنگ بستر زیرین ارتباط داد، اما برای بوکسیت‌هایی که در بالای توالی‌های سنگ‌آهک رسوی واقع هستند، گزینه‌های بیشتری وجود دارد؛ مانند اجزای رسی سنگ‌آهک زیرین، خرده‌های پی‌سنگ انتقال یافته به وسیله رودخانه (مانند Bardossy, 1982، 1984) و نهشته‌هایی از خاکستر آتشنشانی (Bardossy, 1984؛ Lyew-Ayee, 1986) باقیمانده بی‌حرکت (نامتحرک) لاتریتی شدن، تمکز می‌یابد. در نهشته‌های دیگر، تمکز دوباره پیشنهاد می‌کنند که بوکسیت‌های عیار بالای محلی را تشکیل می‌دهد. در ضمن تجمع بازماندی کانسنگ‌های بوکسیت، از نظر تاریخی Al به عنوان یک عنصر نامتحرک تشخیص داده شده است (مانند Valeton et al., 1987؛ Sastri & Sastri, 1982؛ Gow & Lozej, 1993؛)؛ اما تنها با این عنصر، ردیابی منشأ Al به یک نوع یا واحد

از CaO(۵۴/۸۹٪) و LOI(۴۳/۳۳٪) و در مجموع آن را تشکیل می‌دهند. Al₂O₃(۵۰/۵۳٪) و SiO₂(۵۰/۰٪) در مرتبه دوم قرار دارند و مجموع آنها ۱۰/۰٪ درصد می‌باشد. مقدار تشکیل دهنده‌های Fe₂O₃, K₂O, TiO₂, MnO, P₂O₅ و MgO، بسیار ناچیز و مقدار کل آنها اندکی از ۵/۰ درصد بیشتر است. حضور اندک عناصر Fe, K, Mg, Si, Al و Fe باعث وجود جزئی یک تشکیل دهنده رسی در سنگ آهک سازند سروک است. ترکیب کانی‌شناسی نورماتیو سازند سروک که با استفاده از نرم افزار MODAN (Paktunc, 1998, 2001) محاسبه شده است، شامل ۹۷/۴٪ کلیست، ۱/۳٪ دolumیت، ۹/۰٪ کائولینیت، ۳/۰٪ مسکوویت (سریسیت)، ۲/۰٪ گوئیت، ۱/۰٪ آپاتیت است. نمودارهای توزیع و منحنی‌های رگرسیون عناصر Ti و Zr در سازند سروک که همبستگی قوی با Al دارند، در شکل ۳ نشان داده شده است. این عناصر روند خطی خوبی را در مقابل Al نشان می‌دهند.

۲-۴. ترازها

در یال شمالي تاقدیس کوه سیاه و در مجاورت یک عدسی بوکسیتی، افقی از خاک ترازها (Terra Rossa) با ستبرای حدود ۱۵ سانتی‌متر در بخش ستبر آن، بر روی سنگ‌های آهکی سازند سروک مشاهده می‌شود. این افق به طرف حاشیه نازک می‌شود و عدسی شکل است. ترازها یک خاک سرخ یا سرخ مایل به زرد است که از رس یا رس سیلیتی تشکیل می‌شود و شامل ۲٪ ماسه است. این خاک به طور معمول به صورت لایه‌هایی با ستبرای چند سانتی‌متر تا چند متر بر روی سنگ آهک یا سنگ دolumیت در منطقه مدیترانه یافت می‌شود (Miko et al., 1999). برخی از پژوهشگران، ترازها را یک محصول حد واسط در تشکیل بوکسیتی کارستی از سنگ‌های آهکی واقع در زیر آنها در نظر می‌گیرند (Bardossy, 1982; Khaddikar & Basavaiah, 2004; Mylorie & Carew, 1995; Jennings, 1985; Temur, 2006; Karadag et al., 2006).

عناصر اصلی و کمیاب تجزیه شده در نمونه از خاک ترازها در جدول ۲ آورده شده است. مقدار Al₂O₃ در ترازها از ۴۸/۶۷ تا ۳۷/۷۱ درصد تغییر کرده و میانگین آن ۴۴/۸۷ درصد است. با توجه به این که مقدار میانگین Al₂O₃ در سنگ آهک سازند سروک ۵۳٪ درصد است، به نظر می‌رسد که ترازها تقریباً ۸۵٪ برابر غنی شده است. بالا بودن مقدار Al₂O₃ در ترازها، نشان‌دهنده بالغ بودن آن در منطقه مورد مطالعه است. فراوان ترین تشکیل دهنده‌های ترازها عبارتند از Al₂O₃(۴۴/۸۷٪)، LOI(۴۴/۸۷٪)، Fe₂O₃(۱۲/۲۳٪)، CaO(۱۵/۶۷٪)، SiO₂(۱۷/۶۹٪)، Fe₂O₃(۱۲/۲۳٪)، CaO(۱۵/۶۷٪)، SiO₂(۱۷/۶۹٪) و مقدار کل آنها ۹۸/۹۶ درصد وزنی است. مقدار عناصر P₂O₅, K₂O, MgO, MnO و TiO₂ در ترازها بسیار پایین و مجموع آنها از ۱ درصد کمتر است.

ضرایب همبستگی محاسبه شده برای عناصر ترازها در جدول ۳ آورده شده است. عناصر Al₂O₃-MnO, Al₂O₃-TiO₂, Al₂O₃-Cr, Al₂O₃-Zr, CaO-As, CaO-Y, Fe₂O₃-Pb, K₂O-Cu, MgO-Sn, MnO-P₂O₅, MnO-TiO₂, TiO₂-Cr, TiO₂-V, Fe₂O₃-Pb، Hمبستگی کمتر است. در این همینکه های مربوطه در سازمان زمین‌شناسی و اکتشافات معدنی کشور ارسال شد. عناصر اصلی (به استثنای TiO₂) در نمونه‌های سازند سروک و Zr در نمونه‌های ترازها و بوکسیت به روش فلورسانس اشعه X (XRF)، و عناصر کمیاب و TiO₂ در نمونه‌های سازند سروک با استفاده از روش ICP تجزیه شدند. در روش XRF، حد آشکارسازی برای عناصر سیکتر از ۰/۰۱٪ و برای عناصر سنگین تر از ۰/۰۱٪ درصد است. در روش ICP، حدود آشکارسازی بر حسب ppm (به استثنای TiO₂) که بر حسب درصد است) عبارتند از: As (0.6)، Ba (0.2)، Co (0.1)، Cr (0.2)، Cu (0.5)، Eu (0.06)، Ge (0.3)، Mo (0.1)، Nb (0.1)، Nd (0.6)، Ni (1)، Pb (0.2)، Sc (0.1)، Sn (0.3)، Sr (0.2)، TiO₂ (0.01)، V (1)، Y (0.01)، Zn (0.2) و Zr (10).

عناصر V و TiO₂ و Cr, Nb, Zr, و آرایش‌های خطی با همبستگی قوی را در برآورد Al نشان می‌دهند. تمام این عناصر بسیار نامتحرك بوده اند، اما Ti بالاترین ضریب همبستگی با Al (۰/۹۶٪) را دارد. نمودارهای Eu, CaO, SiO₂, K₂O و Y نشان‌دهنده تحرک بزرگ مقیاس و نهی شدگی اساسی با افزایش مقدار Al₂O₃ هستند.

۳-۴. بوکسیت

عناصر اصلی و کمیاب تجزیه شده در ۶ نمونه از بوکسیت در جدول ۴ آورده شده

با سن سانتونین، لایه‌های سروک با سن تورونین زیرین را می‌پوشاند که تماس بین آنها یک سطح هوازدگی مشخص است (Alavi, 2004).

ستبرای سازند سروک در ناحیه موردنی مطالعه بیش از ۵۰۰ متر گزارش شده است (وزارت معادن و فلزات، ۱۳۷۳)، و از آهک دانه ریز و آهک مارنی (رخساره کم‌ژرف) با لایه‌بندی مشخص و به رنگ خاکستری روش تا سفید مایل به خاکستری و زرد روش تشكیل یافته است. در این منطقه، سازند ایلام از آهک‌هایی سبیر تا متوسط لایه به رنگ خاکستری تا کرم تشكیل یافته که به طور مستقیم بر روی سطح ناهموار (فرسایشی) سازند سروک قرار دارد. ستبرای سازند ایلام در منطقه موردنی مطالعه بین ۵ تا ۸۰ متر متغیر است (وزارت معادن و فلزات، ۱۳۷۳).

نهشته‌های بوکسیت در منطقه سرفاریاب در امتداد مرز بین سازندهای سروک (کمر پایین) و ایلام (کمر بالا) توسعه می‌یابند (شکل ۲). بالا آمدگی پس از سازند سروک در شرایط آب و هوایی مناسب برای تشکیل بوکسیت شده است. انحصار سنگ‌های آهکی سروک در این شرایط، افقی از باقیمانده‌های رسی را در گودال‌های کارستی بر جای گذاشته و لاتریتی شدن آنها را به بوکسیت تبدیل نموده است. فرونیشینی منطقه در کرتاسه بالایی باعث رسوبگذاری سنگ‌های آهکی سازند ایلام بر روی افق بوکسیتی می‌شود. بالا آمدگی در پلیوسن همراه با فرسایش بعدی، نهشته‌های بوکسیت را در وضعیت کنونی ظاهر کرده است.

در نمونه‌های مطالعه شده به وسیله پراش اشعه X (XRD) از توده معدنی، بوهمیت کانی اصلی تشکیل دهنده بوده و غالباً بیش از ۶۵ درصد سنگ بوکسیتی را تشکیل می‌دهد. دیاسپور دیگر کانی بوکسیتی آلومینیوم دار موجود است؛ اما مقدار آن به طور قابل توجهی، کمتر (بین ۴ تا ۱۶ درصد) از بوهمیت است. همایت، کائولینیت، آناتاس و کلسیت، کانی‌های فرعی و جزئی شناسایی شده در نمونه‌های موردنی مطالعه هستند.

۳- روشن مطالعه

۱۸ نمونه از سازند سروک، ترازها و عدسی‌های بوکسیتی (هر یک ۶ نمونه) برای تجزیه شیمیایی عناصر اصلی و کمیاب، و ۳ نمونه از نهشته‌های بوکسیت به منظور مطالعه پراش اشعه X (XRD) در حین مطالعات صحرایی انتخاب شد. در نمونه‌گیری سعی شده است نمونه‌ها از بخش‌های تازه و غیرهوازده سنگ‌ها و به گونه‌ای انتخاب شود که نشان‌دهنده تغییرات احتمالی ترکیب شیمیایی و کانی‌شناسی آنها باشد. بخش‌هایی از این نمونه‌ها، برای تجزیه به آزمایشگاه‌های مربوطه در سازمان زمین‌شناسی و اکتشافات معدنی کشور ارسال شد. عناصر اصلی (به استثنای TiO₂) در نمونه‌های سازند سروک و Zr در نمونه‌های ترازها و بوکسیت به روش فلورسانس اشعه X (XRF)، و عناصر کمیاب و TiO₂ در نمونه‌های سازند سروک با استفاده از روش ICP تجزیه شدند. در روش XRF، حد آشکارسازی برای عناصر سیکتر از ۰/۰۱٪ و برای عناصر سنگین تر از ۰/۰۱٪ درصد است. در روش ICP، حدود آشکارسازی بر حسب ppm (به استثنای TiO₂) که بر حسب درصد است) عبارتند از: As (0.6)، Ba (0.2)، Co (0.1)، Cr (0.2)، Cu (0.5)، Eu (0.06)، Ge (0.3)، Mo (0.1)، Nb (0.1)، Nd (0.6)، Ni (1)، Pb (0.2)، Sc (0.1)، Sn (0.3)، Sr (0.2)، TiO₂ (0.01)، V (1)، Y (0.01)، Zn (0.2) و Zr (10).

۴- ژئوشیمی

۴-۱. سازند سروک

اکسیدهای اصلی و برخی عناصر کمیاب تجزیه شده در ۶ نمونه از سازند سروک در جدول ۱ آورده شده است. فراوان ترین تشکیل دهنده‌های سازند سروک عبارتند

که در زمینه بوکسیت های کارستی مورد بحث بوده است، عبارتند از منبع AI و محل بوکسیتی شدن. منابع تأمین کننده AI در بوکسیت های کارستی عبارتند از: خرد های رسی و کلرید های آلومینیومی موجود در سنگ های آهکی زیرین؛ سنگ های سیلیکو-آلومینیومی (شیست ها، مارن ها، نهشته های آتشفشاری وغیره) که بر روی سنگ های کربناتی قرار دارند و ورود AI به صورت آواری یا شیمیابی به وسیله آب یا حتی باد از نواحی لاتریتی شده مجاور. مسئله محل بوکسیتی شدن تنها به بوکسیت های نابرجا مربوط می شود (Lelong et al., 1976).

در مطالعه منشاً نهشته‌های بوکسیت Ozturk et al. (2002) در ترکیه، شواهدی از قبیل میان لایه‌های بوکسیت و کنگلومرای آهکی، مواد بوکسیتی انتقال یافته مانند پیزولیت‌های بزرگ و شکسته شده و لایه‌های کاملاً تدریجی مشکل از پیزولیت‌های تخت شده که به صورت عدسی‌هایی در بوکسیت رخ می‌دهند را به عنوان دلایلی منی بر تشكیل اولیه بوکسیت در یک محل و انتقال بعدی آن به گودال‌ها و حفره‌های کارستی در نظر می‌گیرند. نبود این شواهد و هر شاهد دیگری ممکنی بر انتقال و جایه‌جایی در نهشته‌های بوکسیت منطقه مورد مطالعه، نشان می‌دهد که این بوکسیت‌ها در محل فعلی خود تشكیل شده و به طور کامل بر جا هستند. با توجه به بر جا بودن نهشته‌های بوکسیت و نبود سنگ‌های دگرگونی و آرین غنی از AI در منطقه مورد مطالعه و نواحی مجاور آن، محتمل ترین منشأ AI برای نهشته‌های بوکسیت، خرده‌های رسی موجود در سنگ‌های آهکی واقع در زیر این نهشته‌ها (سازند س و ک) است.

به دلیل مامیت فرسایش کارستی که در آن هوازدگی شیمیایی و فیزیکی هردو غفال هستند، معمولاً تعین این که یک یا چند منع از خرده‌های رسی به بوکسیت تبدیل شده‌اند، مشکل است. متابع بالقوه خرده‌های رسی عبارتند از سنگ‌های آهکی رسی دریابی کم‌زرفای زیرین، رسوبات رودخانه‌ای شسته شده از خشکی‌های مجاور در زمان هوازدگی کارستی و خاکستر آتشنشانی. عناصر نامتحرك در هر یک از این سه منع احتمالی، توزیع متفاوتی خواهد داشت. اگر هر منع همگن باشد، سه روند خطی مجزا برای هر زوج عنصر ایجاد می‌شود. اگر یک یا چند منع ناهمگن باشند، یک توزیع بادبزنی یا اتفاقی داده‌ها به وجود خواهد آمد (MacLean et al. 1990).

MacLean et al. (1997) بیان می‌کنند که در نمودار توزیع عناصر، خط رگرسیون باید مبدأ راقطه کند و ضریب همبستگی باید بزرگ‌تر از 0.900 باشد تا بتوان براساس نسبت‌های عناصر پایدار تعییر و تفسیر متفاوتی را ارائه کرد. از آنجا که تنها یک روند بسیار خطی برای هر زوج عنصر نامتحرك وجود دارد (شکل‌های ۳ تا ۶)، ثابت می‌شود که تنها یک منع همگن وجود دارد و با روندهای خطی سنگ‌آهک سازند سروک همخوانی دارد. رس موجود در سنگ‌آهک، یک تشکیل دهنده آواری است که به احتمال از یک منع گسترد و متغیر مشتق و پیش از ته نشسته به طور همگن خواهد شد (MacLean et al. 1997).

هنگامی که سنگ آهک به عنوان سنگ مادر بوسکیت در نظر گرفته می‌شود، همانند دیگر کانسنگ‌های بوسکیت کارستی، بوسکیت شدن باید از طریق یک فاز ترارزا تحقق یابد. از این نقطه نظر، در مرحله آغازی، سنگ آهک با از دست دادن ترکیبات قلیایی، قلیایی خاکی و دی اکسید کربن مانند Na_2O , MgO , CaO و SiO_2 به ترارزا تبدیل می‌شود. در طول مرحله دوم، ترکیبات دیگر مانند SiO_2 شرایط سطحی تا حدودی متغیر هستند، خارج شده و ترارزا به بوسکیت تبدیل می‌شود (Temur, 2006). جدول ۶ ضریب غنی‌شدگی تشکیل دهنده‌های بوسکیت نسبت به ترارزا و سنگ آهک را نشان می‌دهد. در هنگام تبدیل سنگ آهک به ترارزا، مقدار عناصر As, CaO , Cu و LOI کاهش (ضریب غنی‌شدگی > 1 ، مقدار Sr ثابت (ضریب غنی‌شدگی ≈ 1) و مقدار دیگر عناصر افزایش یافته است (ضریب

است. مقدار Al_2O_3 در بوکسیت از ۴۵/۴۲ تا ۶۱/۰۳ درصد تغییر کرده و میانگین آن ۵۵/۱۱ درصد است. میزان غنی شدگی بوکسیت از Al_2O_3 نسبت به سنگ آهک سروک حدود ۱۰/۴ برابر و نسبت به تراز را ۱/۲ برابر است. فراوان ترین تشکیل دهنده‌های بوکسیت عبارتند از Al_2O_3 (٪۵۵/۱۱)، Fe_2O_3 (٪۱۷/۹۳)، SiO_2 (٪۱۴/۱۳) و LOI (٪۰/۱۷). TiO_2 (٪۰/۲۷/۸) و CaO (٪۰/۲/۷/۸) که در مجموع ۹۹/۱۳ درصد آن را تشکیل می‌دهند. نمونه MBX.2 نسبت به سایر نمونه‌های بوکسیت دارای مقدار Al_2O_3 بیشتر و CaO کمتری است که علت آن نایاب غنی شدن این نمونه است. مقدار CaO تشکیل دهنده‌های P_2O_5 ، MgO ، MnO و K_2O در بوکسیت بسیار اندک و مجموع آنها از ۰/۵ درصد کمتر است.

جدول ۵ ضرایب همبستگی محاسبه شده برای عناصر یوکسیت را ارائه می‌دهد.

عنصر	$\text{Al}_2\text{O}_3\text{-TiO}_2$	$\text{Al}_2\text{O}_3\text{-Nb}$	$\text{Al}_2\text{O}_3\text{-Zr}$	LOI-CaO	$\text{K}_2\text{O-MgO}$	$\text{K}_2\text{O-Ni}$	MgO-Ni	$\text{TiO}_2\text{-Zr}$	Ba-Sc	Ba-Y	Co-Ni	Eu-Nd	Ge-Sc	Ge-Y	Mo-Sn	Sc-Y	Nb-Zr
عناصر	۰/۹۰	۰/۹۰	۰/۹۰	۰/۹۰	۰/۹۰	۰/۹۰	۰/۹۰	۰/۹۰	۰/۹۰	۰/۹۰	۰/۹۰	۰/۹۰	۰/۹۰	۰/۹۰	۰/۹۰	۰/۹۰	۰/۹۰
دارای همبستگی قوی مثبت (ضریب همبستگی $\geq ۰/۹۰$)																	
دارای همبستگی به نسبت قوی منفی (ضریب																	
همبستگی $\leq -۰/۸۰$)																	

نمودارهای توزیع برخی عناصر اصلی و کمیاب بوکسیت در برابر Al در شکل ۵ نشان داده شده است. عناصر V، Cr، TiO₂، Nb و Zr رابطه خطی خوبی را در برابر نشان داده اند و بالاترین ضریب همبستگی با Al₂O₃ متعلق به Zr است. نمودارهای Al نشان می دهد و با افزایش ضریب همبستگی با K₂O، CaO، Eu، SiO₂ و Nd نشان دهنده تهی شدگی به نسبت مهمی با افزایش عناصر Al₂O₃ هستند. SiO₂ ضریب همبستگی نزدیک به صفر با Al₂O₃ داشته و تغییرات مقدار آن با افزایش Al₂O₃ نامنظم است. به عقیده بسیاری از پژوهشگران MacLean et al., 1997؛ Temur, 2000؛ Mordberg, 1996؛ Hill et al., 2000؛ (2005) عناصر تشکیل دهنده بوکسیت را می توان براساس پایداری آنها در شرایط سطحی حین بوکسیتی شدن تقسیم بندی کرد. Zr، Th، TiO₂، Al₂O₃ و Nb را می توان به عنوان تشکیل دهنده های نامتحرك؛ Fe₂O₃، Ni و SiO₂ را به عنوان تشکیل دهنده های نیمه متحرك که؛ CaO، MgO، Na₂O و K₂O را به عنوان

بوکسیت‌های واقع بر روی سنگ‌های کربناتی (بوکسیت‌های کارستی) نسبت به دیگر انواع بوکسیت‌ها، در برخی از عناصر کمیاب مانند Ni، Y، Pb، Zn، B، Nb، La و Th بیشتر غنی شده‌اند (Mordberg, 1993a). کمربایین کربناتی را می‌توان به عنوان یک سد زئوژیمیابی در نظر گرفت که از تحرک و حذف عناصر مختلف جلوگیری می‌کند (Mordberg, 1996). از طرف دیگر، مشخص شده است که بوکسیت‌های با ترکیب کانی شناسی متفاوت (گیسیتی، بوهمیتی و دیاسپوری) مقادیر و نسبت‌های متفاوتی از عناصر کمیاب را دارا هستند (علت این تفاوت‌ها به وسیله Mordberg, 1993a و Bushinsky & Zakrutkin, 1978 توضیح داده شده است). بوکسیت‌های گیسیتی، به نسبت فقیر از Ni، La، Pb، Y، Cu و Co هستند، در صورتی که بوکسیت‌های بوهمیتی و دیاسپوری غنی ترین بوکسیت‌ها در Cu، Y، Zn و Cr هستند. بالاترین مقادیر Cr، V و Co و پیزه بوکسیت‌های بوهمیتی است. بوکسیت‌های منطقه مورد مطالعه از نظر غنی بودن در V، Y، Cr و Bo به خوبی با بوکسیت‌های بوهمیتی (داده‌های Mordberg, 1993a) مطابقت دارند.

۵- بحث و نتیجه‌گیری

نهشته‌های بوکسیت سرفاریاب به صورت توده‌های عدسی شکل بر روی سازند آهکی سروک و درون گودال‌ها و حفرات کارستی موجود در سطح فراسایش یافته این سازند قرار دارند؛ بنابراین از نوع بوکسیت‌های کارستی هستند. دو مسئله اصلی

بوکسیت‌های مورد مطالعه باشد. شواهد زیر نشان می‌دهد که سنگ‌آهک سروک می‌تواند سنگ مادر نهشته‌های بوکسیت باشد: ۱- ضریب همبستگی $\text{Al}_2\text{O}_3\text{-TiO}_2$ از $0/90$ است؛ ۲- در نمودارهای پراکنده‌گی $\text{Al}_2\text{O}_3\text{-Zr}$ و $\text{Al}_2\text{O}_3\text{-TiO}_2$ ، نقاط سنگ‌آهک، ترازهای و بوکسیت در نواحی باریک و متفاوتی جمع می‌شوند (شکل ۶)؛ ۳- در نمودارهای پراکنده‌گی $\text{Al}_2\text{O}_3\text{-TiO}_2$ و $\text{Al}_2\text{O}_3\text{-Zr}$ ، نقاط بسیار نزدیک به خط رگرسیون نیز در مطالعه منشأ نهشته هستند و این خط از مبدأ می‌گذرد. Liaghat et al. (2003) این نتیجه می‌گیرند که منشأ AI این نهشته، خرددهای رسی موجود در سازند سروک واقع در زیر آن است.

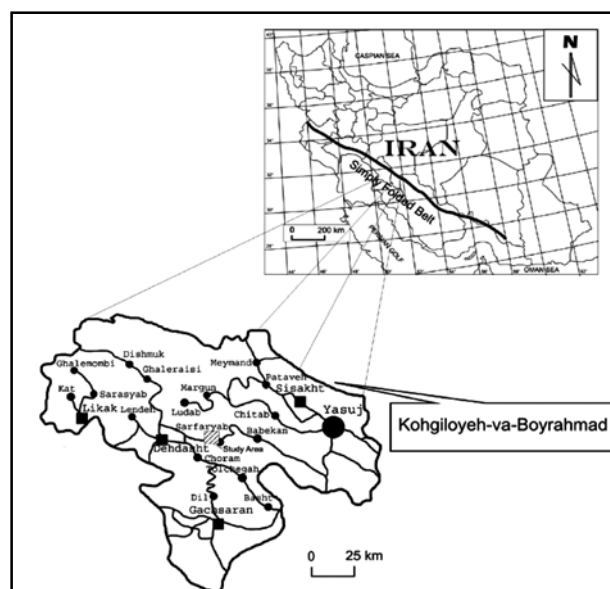
با توجه به بحث بالا، می‌توان نتیجه گرفت که هوازدگی کارستی، لایه‌ای از خرددهای رسی را در بالای سازند آهکی سروک تویید و لاتریتی شدن، این خرددها را به طور بخشی به بوکسیت تبدیل کرده است. نبود شواهدی مبنی بر انتقال و جابه‌جایی در نهشته‌های بوکسیت منطقه موردن مطالعه، نشان می‌دهد که این بوکسیت‌ها در محل فعلی خود تشکیل شده و به طور کامل بر جا هستند. AI و مقادیر اندکی از Y در قطبانی خود غلظت شده و به صورت بر جای مانده در هنگام لاتریتی شدن در بخش بالای نیمرخ هوازدگی انباشته شده‌اند. به همین ترتیب، دیاسپور، هماتیت، کائولینیت و آناناس کانی‌های تشکیل دهنده بوکسیت هستند. نمودارهای عناصر تمرکز یافته، روندهای خطی با همبستگی بالایی را به نمایش می‌گذارند و نشان می‌دهند که این عناصر در طول فرایند تشکیل بوکسیت نامتحرك بوده و از یک منبع همگن منشأ گرفته‌اند. نسبت‌ها و توزیع عناصر نامتحرك نشان می‌دهد که ترازهای رسی سازند سروک در زیر منشأ گرفته است و ترازهای رسی مخصوصاً حدوداً در تبدیل سنگ‌آهک به بوکسیت است.

سپاسگزاری

این پژوهش از پشتیبانی مالی حوزه معاونت پژوهشی داشگاه آزاد اسلامی واحد بهبهان برخوردار بوده است، بنابراین نگارندهان صمیمانه از همه مسئولان محترم این حوزه که امکان انجام این پژوهش را فراهم کردند، سپاسگزاری و قدردانی می‌کنند.

غنى شدگى > ۱). در هنگام تبدیل ترازهای رسی به بوکسیت، مقدار عناصر K_2O و Zn کاهش، مقدار عناصر Mo ، Eu ، Ni و Sr تقریباً ثابت و مقدار دیگر عناصر افزایش یافته است. در نهایت، در تبدیل سنگ‌آهک به بوکسیت، میزان عناصر Zn و CaO کاهش، میزان عناصر K_2O و Th ثابت و میزان دیگر عناصر افزایش می‌یابد. رفتار عناصر MgO و K_2O در تبدیل سنگ‌آهک به ترازهای رسی در شرایط سطحی ناهمانگ است. از آنجا که شرایط محیطی برای هر کانسار می‌تواند در طول بوکسیتی شدن متفاوت باشد، ممکن است میزان پایداری عناصر در هر کانسار متفاوت باشد (Temur, 2006). همان‌گونه که Hill et al. (1996) و Mordberg (2000) خاطر نشان می‌کنند، رفتار عناصر در حین فرایند بوکسیتی شدن، بسته به عواملی مانند pH ، Eh ، توپوگرافی، تخلخل، سیستم زهکشی و جذب تغییر می‌کند.

شکل ۷ الگوهای عناصر کمیاب بهنجار شده با شیل استرالیایی پس از آرکنین میانگین (Taylor and McLennan, 1985) (PAAS) (Taylor and McLennan, 1985) را نشان می‌دهد. عناصر کمیاب سازند سروک، به استثنای Sr ، نسبت به PAAS تهی شدگی نشان می‌دهند. غنى شدگى سازند سروک در Sr نشان دهنده همراهی این عنصر با کانی کلسیت است. عناصر Nd ، Pb و Co ، Cu ، Zn ، Y ، Ba و Ti ، V ، Cr ، Ni ، Sr ، Nb ، Mo ، Sn و Eu غنى شدگى نشان می‌دهند. عنصر Sc در ترازهای دارای غلظت مشابهی با PAAS است. عناصر Co ، Cu ، Zn ، Ba ، Nd و Pb در بوکسیت نسبت به PAAS تهی، و عناصر Sc ، Ti ، V ، Cr ، Ni ، Sr ، Y ، Zr ، Nb ، Mo ، Sn و Eu غنى شدگى نشان می‌دهند. عناصر Sc ، Ti ، V ، Cr ، Y ، Zr و Ga که غلظت‌های شده‌اند، عناصر $\text{D'Argenio \& Mindszenty}$ (1995) قابل توجهی در بوکسیت دارند، به‌وسیله (Bauxitophilic) نامیده شده‌اند. میزان تمرکز عنصر بوکسیت دوست در بوکسیت سرفاریاب نسبت به بوکسیت‌های دیگر، مانند بوکسیت‌های مطالعه شده MacLean et al. (1997)، Liaghat et al. (2003)، Karadag et al. (2006) توسط و Temur (2006) کمتر است. پایین بودن غلظت Ni در سنگ‌آهک سروک نسبت به سنگ‌آهک مادر بوکسیت‌های یاد شده، می‌تواند علت تمرکز کمتر این عنصر در



شکل ۱- نقشه موقعیت جغرافیایی و زمین‌شناسی منطقه موردن مطالعه.

جدول ۲- غلظت‌های اکسیدهای اصلی (%) و برخی عناصر کمیاب (ppm) در نمونه‌های تم ارزای.

Sample No.	Al ₂ O ₃	CaO	Fe ₂ O ₃	K ₂ O	LOI	MgO	MnO	P ₂ O ₅	SiO ₂	TiO ₂	As							
T.R.1	48.67	2.28	11.07	0.04	17.00	0.40	0.04	0.10	17.51	2.41	1							
T.R.2	48.36	5.21	15.46	0.03	16.06	0.36	0.05	0.16	11.30	2.48	3							
T.R.3	44.92	6.12	16.20	0.03	15.80	0.34	0.04	0.11	13.60	2.34	3							
T.R.4	37.71	11.24	8.66	0.04	20.70	0.34	0.02	0.06	19.04	1.81	5							
T.R.5	44.82	4.71	13.21	0.13	17.28	0.36	0.04	0.10	16.47	2.34	3							
T.R.6	44.73	7.87	8.77	0.05	19.30	0.41	0.04	0.11	16.07	2.21	5							
Mean	44.87	6.24	12.23	0.05	17.69	0.36	0.03	0.10	15.67	2.26	3							
SD	3.95	3.06	3.26	0.03	1.92	0.02	0.00	0.03	2.79	0.24	1							
Min	37.71	2.28	8.66	0.03	15.80	0.34	0.02	0.06	11.30	1.81	1							
Max	48.67	11.24	16.20	0.13	20.70	0.41	0.05	0.16	19.04	2.48	5							
Sample No.	Ba	Co	Cr	Cu	Eu	Ge	Mo	Nb	Nd	Ni	Pb	Sc	Sn	Sr	V	Y	Zn	Zr
T.R.1	39	11	685	1.0	1	6	2	26	17	63	6	20	9	219	233	5	61	592
T.R.2	36	10	663	0.5	2	7	2	26	35	73	6	9	8	302	232	9	54	592
T.R.3	32	12	675	0.5	2	12	2	23	30	73	7	9	7	225	243	11	58	592
T.R.4	33	7	380	2.0	2	4	2	20	23	46	6	25	7	261	162	33	50	370
T.R.5	31	11	553	7.0	1	10	2	25	21	94	6	14	8	238	231	5	64	518
T.R.6	31	10	569	2.0	2	1	2	25	30	74	5	19	9	375	190	25	62	518
Mean	34	10	587	2.0	2	7	2	24	26	70	6	16	8	270	215	15	58	530
SD	3	2	116	2.0	0	4	0	2	7	15	0	6	1	60	32	12	5	86
Min	31	7	380	0.5	1	1	2	20	17	46	5	9	7	219	162	5	50	370
Max	39	12	685	7.0	2	12	2	26	35	94	7	25	9	375	243	33	64	592

جدول ۴- غلظت‌های اکسیدهای اصلی (%) و برخی عناصر کمیاب (ppm) در نمونه‌های بوکسیت.

Sample No.	Al ₂ O ₃	CaO	Fe ₂ O ₃	K ₂ O	LOI	MgO	MnO	P ₂ O ₅	SiO ₂	TiO ₂	As						
LBX.1	55.35	0.65	24.23	0.03	12.10	0.10	0.12	0.09	4.01	2.82	11 33						
MBX.1	60.64	1.94	11.99	0.04	14.72	0.16	0.04	0.11	6.62	3.19	6 40						
UBX.1	52.53	0.60	14.41	0.06	14.06	0.20	0.06	0.09	14.90	2.46	8 43						
LBX.2	55.70	0.19	25.41	0.02	11.42	0.10	0.06	0.09	3.76	2.75	8 26						
MBX.2	45.42	12.62	15.66	0.04	19.28	0.15	0.05	0.05	3.79	2.45	5 29						
UXB.2	61.03	0.46	15.90	0.04	13.20	0.16	0.04	0.08	5.54	3.03	7 55						
Mean	55.11	2.74	17.93	0.03	14.13	0.14	0.06	0.08	6.44	2.78	7 37						
SD	5.77	4.88	5.52	0.01	2.80	0.03	0.02	0.01	4.30	0.29	2 11						
Min	45.42	0.19	11.99	0.02	11.42	0.10	0.04	0.05	3.76	2.45	5 26						
Max	61.03	12.62	25.41	0.06	19.28	0.20	0.12	0.11	14.90	3.19	11 55						
Sample No.	Co	Cr	Cu	Eu	Ge	Mo	Nb	Nd	Ni	Pb	Sc	Sn	Sr	V	Y	Zn	Zr
LBX.1	13	660	0.5 2	0.5 2	30	36	57	10	19	11	119	357	26	39	740		
MBX.1	14	842	6.0 2	0.5 3	32	43	83	9	40	14	245	342	16	36	814		
UBX.1	16	718	4.0 2	15.0 2	29	44	102	8	116	12	579	320	198	36	666		
LBX.2	9	694	5.0 1	2.0 1	28	9	44	8	16	9	70	319	1	40	740		
MBX.2	11	589	0.5 2	5.0 2	25	43	64	7	39	8	143	295	51	32	592		
UXB.2	13	891	0.5 1	34.0 3	31	14	66	10	171	13	444	400	380	53	814		
Mean	13	732	2.8 2	9.5 2	29	31	69	9	67	11	267	339	112	39	727		
SD	2	113	2.5 1	13.0 1	2	16	21	1	63	2	203	36	149	7	86		
Min	9	589	0.5 1	0.5 1	25	9	44	7	16	8	70	295	1	32	592		
Max	16	891	6.0 2	34.0 3	32	44	102	10	171	14	579	400	380	53	814		

جدول ۱- غلظت‌های اکسیدهای اصلی (%) و برخی عناصر کمیاب (ppm) در نمونه‌های سازاند سوک.

Sample No.	Al ₂ O ₃	CaO	Fe ₂ O ₃	K2O	LOI	MgO	MnO	P ₂ O ₅	SiO ₂	TiO ₂	As	Ba					
SV.1.1	0.58	54.60	0.18	0.03	43.20	0.35	0.002	0.005	0.64	0.04	6	23					
SV.1.2	0.48	54.99	0.12	0.03	43.44	0.31	0.002	0.005	0.49	0.03	3	41					
SV.1.3	0.45	55.04	0.17	0.03	43.40	0.32	0.003	0.005	0.43	0.03	4	10					
SV.2.1	0.43	55.09	0.10	0.03	43.40	0.30	0.003	0.005	0.33	0.03	3	31					
SV.2.2	0.67	54.82	0.13	0.03	43.34	0.30	0.004	0.005	0.53	0.04	1	33					
SV.2.3	0.60	54.80	0.14	0.05	43.24	0.29	0.005	0.006	0.59	0.04	4	29					
Mean	0.53	54.89	0.14	0.03	43.33	0.31	0.003	0.005	0.50	0.03	4	28					
SD	0.09	0.18	0.03	0.00	0.09	0.21	0.001	0.000	0.11	0.00	2	10					
Min	0.43	54.60	0.10	0.03	43.20	0.29	0.002	0.005	0.33	0.03	1	10					
Max	0.67	55.09	0.18	0.05	43.44	0.35	0.005	0.006	0.64	0.04	6	41					
Sample No.	Co	Cr	Cu	Eu	Ge	Mo	Nb	Nd	Ni	Pb	Sc	Sn	Sr	V	Y	Zn	Zr
SV.1.1	0.5	0.8	5	0.6	0.9	0.7	2	1	1.3	2.0	0.1	0.5	273	28	1.9	59	16
SV.1.2	0.3	0.2	4	0.6	2.6	0.9	2	2	1.0	2.0	0.1	0.4	259	33	1.4	99	12
SV.1.3	0.6	1.2	3	0.7	1.9	0.8	3	1	1.0	1.8	0.1	0.4	262	31	1.6	44	10
SV.2.1	0.1	0.2	1	0.6	0.3	0.8	3	1	1.0	1.7	0.5	0.5	269	28	1.4	28	10
SV.2.2	0.2	1.9	4	0.7	0.3	0.8	3	2	1.0	1.7	0.4	0.4	253	38	0.5	39	16
SV.2.3	0.2	0.2	5	0.6	0.3	0.8	2	3	1.0	1.5	0.5	0.4	279	32	2.2	38	18
Mean	0.3	0.7	4	0.6	1.0	0.8	3.2	1.0	1.7	0.3	0.4	266	32	1.5	51	14	
SD	0.2	0.7	2.0	0.9	0.0	1.1	0.1	0.1	0.2	0.0	10	4	0.5	26	4		
Min	0.1	0.2	1.0	0.6	0.3	0.7	2.1	1.0	1.5	0.1	0.4	253	28	0.5	28	10	
Max	0.6	1.9	5.0	0.7	2.6	0.9	3.3	1.3	2.0	0.5	0.5	279	38	2.2	99	18	

جدول ۳- ماتریکس همبستگی میان غلطت‌های عناصر در نمونه‌های ترارزا.

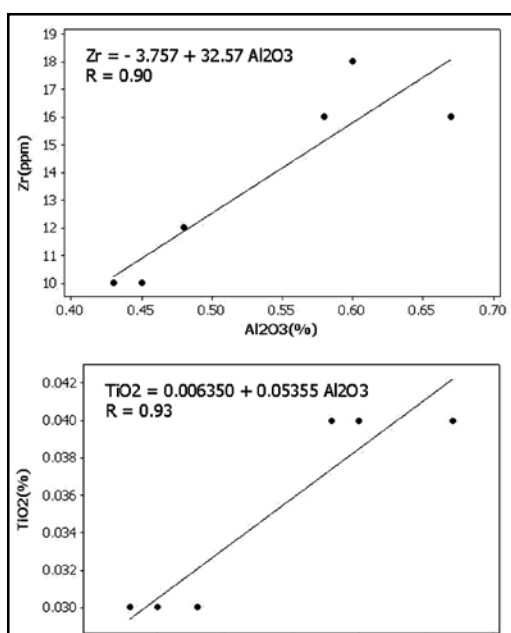
	Al ₂ O ₃	CaO	Fe ₂ O ₃	K ₂ O	LOI	MgO	MnO	P ₂ O ₅	SiO ₂	TiO ₂	As	Ba	Co	Cr	Cu	Eu	Ge	Mo	Nb	Nd	Ni	Pb	Sc	Sn	Sr	V	Y	Zn	Zr		
Al ₂ O ₃	1.00																														
CaO	-0.90	1.00																													
Fe ₂ O ₃	0.51	-0.48	1.00																												
K ₂ O	-0.05	0.18	-0.02	1.00																											
LOI	-0.79	0.77	-0.91	0.03	1.00																										
MgO	0.48	-0.38	-0.46	0.00	0.10	1.00																									
MnO	0.91	-0.73	0.64	0.01	-0.80	0.32	1.00																								
P ₂ O ₅	0.78	-0.50	0.65	-0.18	0.71	0.16	0.93	1.00																							
SiO ₂	-0.59	0.32	-0.81	0.26	0.75	0.16	-0.81	-0.92	1.00																						
TiO ₂	0.96	-0.89	0.69	0.07	-0.90	0.29	0.95	0.81	-0.69	1.00																					
As	-0.71	0.90	-0.40	-0.04	0.66	-0.18	0.44	-0.26	0.11	-0.67	1.00																				
Ba	0.59	-0.6	0.08	-0.40	-0.34	0.32	0.30	0.29	-0.02	0.43	-0.79	1.00																			
Ca	0.79	-0.82	0.68	0.00	-0.88	0.20	0.74	0.52	-0.52	0.86	-0.63	0.26	1.00																		
Cr	0.92	-0.83	0.65	-0.22	-0.89	0.30	0.85	0.72	-0.65	0.93	-0.67	0.49	0.92	1.00																	
Cu	-0.18	-0.04	0.14	0.98	0.18	-0.01	-0.10	-0.27	0.34	-0.06	0.08	-0.48	-0.92	-0.35	1.00																
Eu	-0.53	0.83	-0.33	-0.53	0.54	-0.12	-0.33	-0.04	-0.08	-0.57	0.85	-0.39	-0.59	-0.46	-0.42	1.00															
Ge	0.24	-0.43	0.85	0.26	-0.74	0.61	0.29	0.20	-0.40	0.45	-0.44	-0.05	0.59	0.41	0.16	-0.56	1.00														
Mo	-0.33	0.35	-0.48	-0.56	0.48	-0.04	-0.52	-0.32	0.38	-0.51	0.00	0.51	-0.62	0.40	-0.49	0.33	-0.50	1.00													
Nb	0.89	-0.77	0.24	0.21	-0.52	0.65	0.86	0.73	-0.44	0.84	-0.51	0.43	0.55	0.68	0.11	-0.45	-0.01	-0.36	1.00												
Nd	0.15	0.22	0.44	-0.39	-0.27	0.17	0.47	0.69	-0.82	0.23	0.44	-0.26	0.08	0.23	-0.39	0.61	0.00	-0.23	0.13	1.00											
Ni	0.49	-0.52	0.47	0.70	-0.52	0.14	0.65	0.46	-0.40	0.64	0.17	-0.30	0.56	0.41	0.62	-0.49	0.46	-0.91	0.61	0.15	1.00										
Pb	0.47	-0.54	0.90	-0.14	-0.89	-0.41	0.48	0.41	-0.56	0.62	-0.54	0.19	0.79	0.71	-0.26	-0.44	0.88	-0.40	0.10	0.18	0.30	1.00									
Sc	-0.57	0.46	-0.95	0.00	0.88	0.30	-0.76	-0.76	0.89	-0.74	0.25	0.04	-0.71	-0.69	0.09	0.22	-0.73	0.63	-0.37	-0.59	-0.61	-0.81	1.00								
Sn	0.49	-0.54	-0.45	0.11	0.91	0.91	0.22	0.00	0.34	0.29	-0.47	0.53	0.21	0.29	0.07	-0.42	-0.46	0.08	0.62	-0.50	0.07	-0.32	0.39	1.00							
Sr	-0.02	0.38	-0.38	-0.14	0.38	0.48	0.17	0.30	-0.18	-0.10	0.64	-0.29	-0.32	-0.15	0.07	0.68	-0.72	-0.03	0.25	0.58	0.04	-0.61	0.13	0.12	1.00						
V	0.80	-0.86	0.84	0.11	-0.97	-0.01	0.78	0.61	-0.62	0.91	-0.73	0.33	0.92	0.88	-0.03	-0.69	0.75	-0.56	0.57	0.10	0.61	0.85	-0.83	0.07	-0.45	1.00					
Y	-0.82	0.94	-0.70	-0.30	0.88	-0.08	-0.74	-0.55	0.46	-0.90	0.83	-0.43	-0.82	-0.79	-0.14	0.84	-0.68	0.49	-0.68	0.10	-0.65	-0.69	0.66	-0.24	0.48	-0.94	1.00				
Zn	0.47	-0.60	0.04	0.61	-0.29	0.56	0.42	0.08	0.09	0.51	-0.32	-0.11	0.60	0.42	0.54	0.63	0.17	-0.74	0.58	-0.30	0.76	0.10	-0.17	0.56	-0.03	0.46	-0.54	1.00			
Zr	0.93	-0.84	0.69	-0.14	0.90	0.29	0.89	0.76	-0.69	0.95	-0.65	0.44	0.93	0.99	-0.28	0.47	0.43	-0.46	0.72	0.26	0.50	0.70	-0.74	0.27	-0.13	0.90	-0.81	0.45	1.00		

جدول ۵- ماتریکس همبستگی میان غلظت‌های عناصر در نمونه‌های بوکسیت.

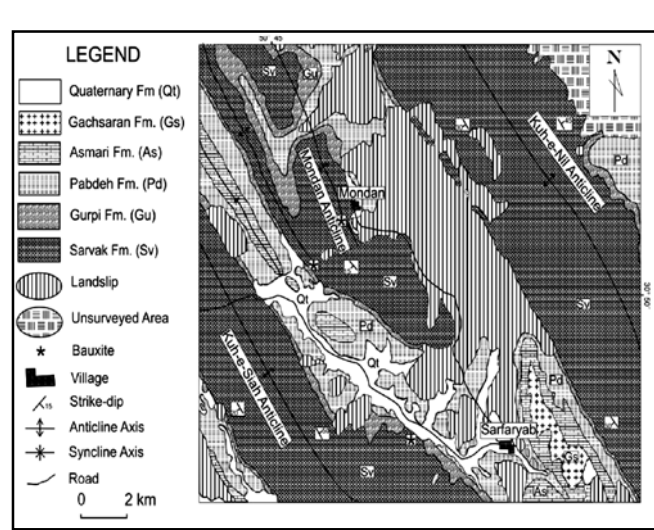
	Al ₂ O ₃	CaO	Fe ₂ O ₃	K ₂ O	LOI	MgO	MnO	P ₂ O ₅	SiO ₂	TiO ₂	As	Ba	Co	Cr	Cu	Eu	Ge	Mo	Nb	Nd	Ni	Pb	Sc	Sn	Sr	V	Y	Zn	Zr
Al ₂ O ₃	1.00																												
CaO	-0.73 1.00																												
Fe ₂ O ₃	-0.04 0.28 1.00																												
K ₂ O	-0.17 0.09-0.77 1.00																												
LOI	-0.66 0.93-0.59 0.39 1.00																												
MgO	-0.05 0.10-0.88 0.94 0.42 1.00																												
MnO	-0.13 0.22 0.67-0.29-0.39-0.57 1.00																												
P ₂ O ₅	0.77-0.80 0.01-0.03-0.66-0.01 0.08 1.00																												
SiO ₂	-0.02 0.29-0.49 0.86-0.01 0.80-0.16 0.27 1.00																												
TiO ₂	0.90-0.47-0.12-0.31-0.40-0.16-0.16 0.64-0.31 1.00																												
As	0.35-0.70 0.65-0.29-0.80-0.49 0.84 0.46-0.01 0.17 1.00																												
Be	0.56-0.37-0.55 0.54-0.12 0.62-0.37 0.19 0.41 0.40-0.02 1.00																												
Co	0.13-0.23-0.64 0.89 0.07 0.79-0.02 0.31 0.84-0.02 0.07 0.61 1.00																												
Cr	0.89-0.57-0.42 0.15-0.35 0.33-0.48 0.56 0.16 0.79-0.01 0.81 0.32 1.00																												
Cu	0.07-0.38-0.07 0.09-0.21 0.15-0.33 0.33 0.22-0.10-0.18 0.08-0.24 1.00																												
Eu	-0.53-0.27 0.15-0.35 0.15-0.20 0.13-0.25 0.23-0.23-0.20 1.00																												
Ge	0.30-0.20-0.33 0.41-0.06 0.50-0.41-0.19 0.26 0.30 0.54-0.09 0.88 0.68 0.76-0.16 0.10 1.00																												
Mo	0.54-0.19-0.71 0.54 0.09 0.59-0.31 0.26 0.30 0.54-0.09 0.88 0.68 0.76-0.16 0.10 1.00																												
Nb	0.94-0.75-0.11-0.03-0.80 0.00 0.03 0.81 0.07 0.87 0.46 0.57 0.34 0.81 0.22-0.24 0.20 0.64 1.00																												
Nd	-0.41 0.41-0.55 0.62 0.58 0.48 0.11-0.01 0.42-0.26-0.19-0.08 0.62-0.29 0.00 0.91-0.30 0.25-0.14 1.00																												
Ni	0.00-0.06-0.78 0.94 0.27 0.91-0.28 0.25 0.89-0.12-0.22 0.48 0.92 0.25 0.26 0.40 0.23 0.56 0.15 0.68 1.00																												
Pb	0.75-0.63 0.22-0.27 0.61-0.34 0.45 0.55-0.24 0.70 0.71 0.38 0.13 0.59-0.18-0.06 0.09 0.47 0.85-0.17-0.17 1.00																												
Sc	0.31-0.23-0.48 0.59-0.02 0.67-0.44-0.07 0.47 0.68-0.14 0.92 0.52 0.62-0.26-0.30 0.97 0.68 0.26-0.17 0.44 0.07 1.00																												
Sn	0.74-0.55-0.57 0.50-0.26 0.54-0.21 0.62 0.47 0.42 0.62 0.15 0.84 0.73 0.85 0.16-0.04 0.48 0.90 0.83 0.16 0.61 0.56 0.60 1.00																												
Sr	0.20-0.29-0.61 0.86 0.00 0.87-0.35 0.13 0.84-0.07-0.10 0.84 0.82 0.49 0.02-0.03 0.73 0.63 0.24 0.18 0.80-0.04 0.86 0.68 1.00																												
V	0.31-0.57-0.64 0.66-0.50-0.04 0.04 0.11-0.13 0.64 0.60 0.45-0.05-0.36 0.04 0.11-0.08 0.04 0.05 0.61 0.21 1.00																												
Y	0.31-0.36-0.36 0.48-0.35-0.14 0.35 0.69-0.07 0.30 0.42 0.58-0.38-0.08 0.59 0.63 0.25-0.24 0.14 0.14 0.99 0.24 0.78 0.65 1.00																												
Zr	0.68-0.54 0.10-0.13 0.52-0.03-0.14 0.13-0.11 0.20 0.26 0.71-0.01 0.71-0.27-0.68 0.79 0.45 0.54-0.71-0.21 0.53 0.69 0.46 0.33 0.89 0.77 1.00																												
	0.99-0.72 0.00-0.27-0.64-0.15-0.10 0.73-0.15 0.94 0.35 0.49 0.03 0.85 0.27-0.52 0.23 0.50 0.93-0.43-0.10 0.78 0.22 0.67 0.07 0.79 0.23 0.66 1.00																												

جدول ۶- ضریب غنی‌شدگی تشکیل‌دهنده‌های بوکسیت نسبت به ترازها و سنگ‌آهک.

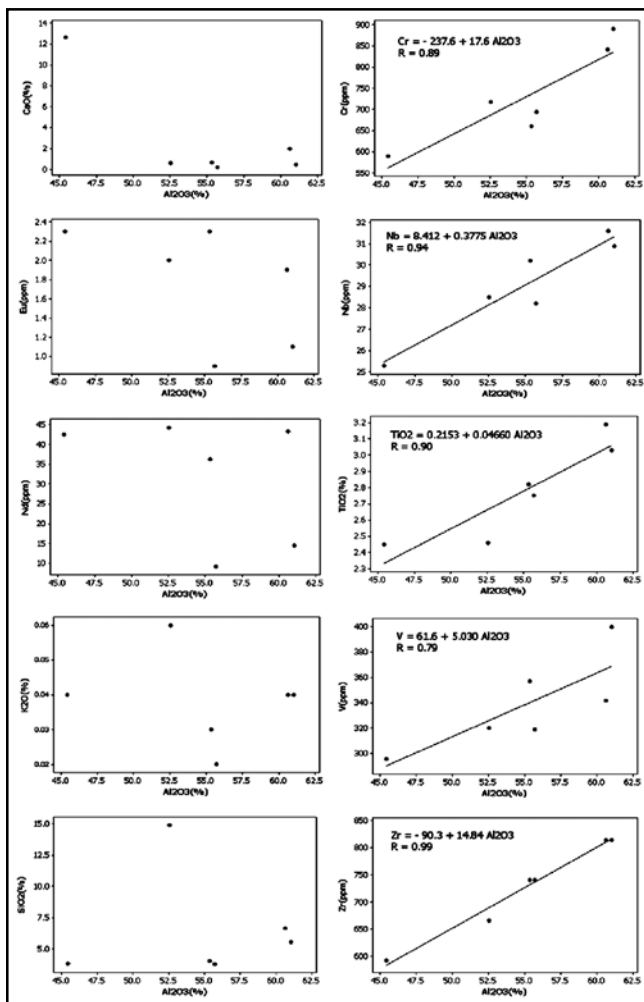
	Al ₂ O ₃	CaO	Fe ₂ O ₃	K ₂ O	LOI	MgO	MnO	P ₂ O ₅	SiO ₂	TiO ₂	As	Ba	Co
Terra Rossa-Limestone	84.66	0.11	87.35	1.66	0.40	1.16	10	20.0	31.14	64.75	0.85	1.22	32.25
Bauxite-Terra Rossa	1.22	0.43	1.46	0.60	0.79	0.38	2	0.8	0.41	1.23	2.33	1.08	1.30
Bauxite-Limestone	103.98	0.04	128.07	1.00	0.32	0.45	20	16.0	12.88	79.42	2.00	1.32	41.93
	Cr	Cu	Nb	Nd	Ni	Pb	Sc	Sn	Sr	V	Y	Zn	Zr
Terra Rossa-Limestone	782.66	0.54	9.6	15.66	66.66	3.52	57.14	18.60	1.01	6.78	10.00	1.13	37.85
Bauxite-Terra Rossa	1.24	1.40	1.2	1.19	0.98	1.50	4.18	1.37	0.98	1.57	7.46	0.67	1.37
Bauxite-Limestone	976.00	0.76	11.6	18.67	65.71	5.05	239.28	25.58	1.00	10.70	74.66	0.76	51.92



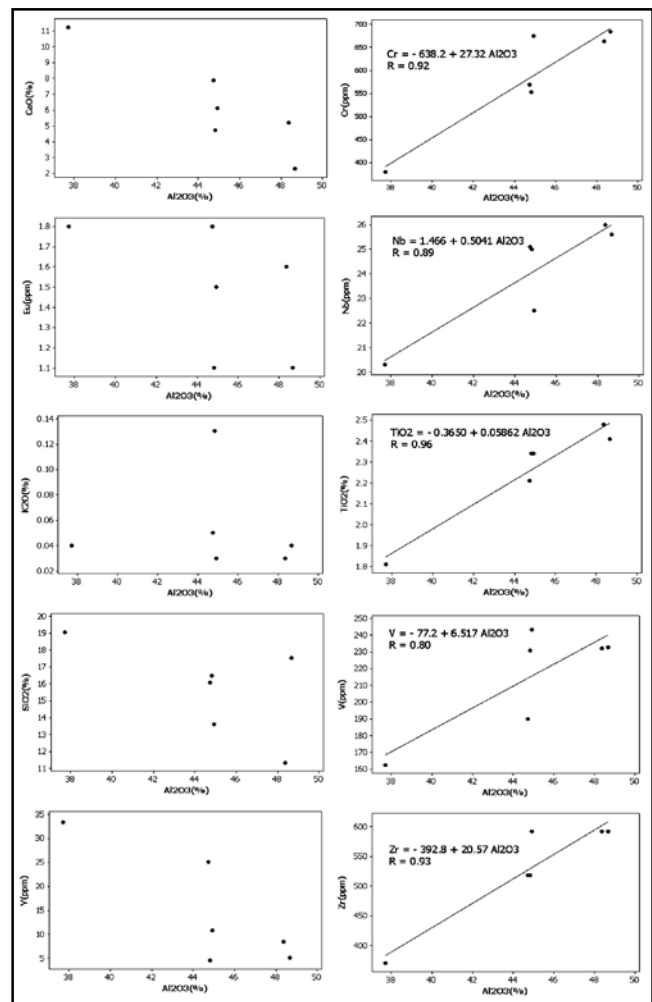
شکل ۳- نمودارهای توزیع و منحنی‌های رگرسیون عناصر سازند سروک که همبستگی قوی با Al دارند.



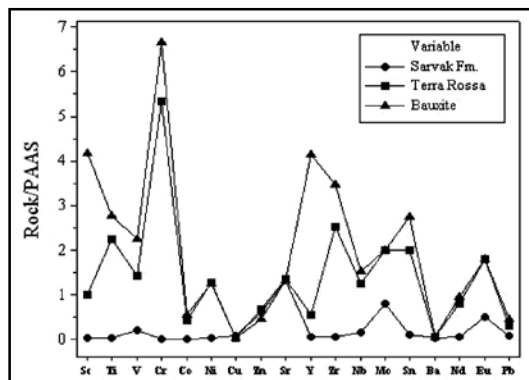
شکل ۲- بخشی از نقشه زمین‌شناسی 1:100000 منطقه مورد مطالعه که موقعیت نهشته‌های بوکسیت را نشان می‌دهد. به دلیل کم بودن سترای ایلام در منطقه، در این نقشه حدود گسترش این سازند نشان داده نشده و مجموع سازندهای سروک و ایلام با عنوان سازند سروک مشخص شده است (با تغییر از 1973 Iranian Oil Operating Companies).



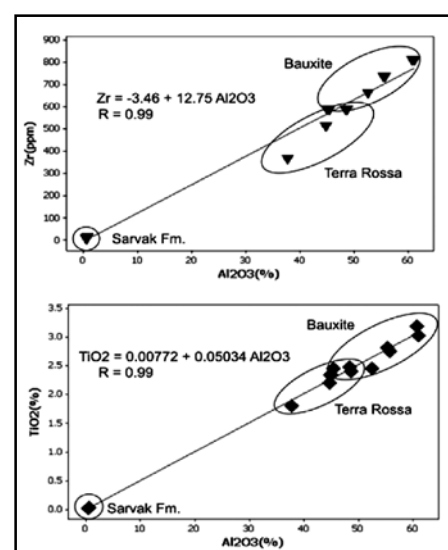
شکل ۵- نمودارهای توزیع برخی عناصر اصلی و کمیاب بوکسیت در برابر Al_2O_3 داده‌های دارای انبساط خوب نشان‌دهنده جفت عناصر نامتحرك هستند، CaO ، Eu ، Nd ، TiO_2 و V متحرك ک هستند و در بوکسیت تهی شده‌اند.



شکل ۴- نمودارهای توزیع برخی عناصر اصلی و کمیاب ترازدا در برابر Al_2O_3 داده‌های دارای انبساط خوب نشان‌دهنده جفت عناصر نامتحرك هستند. CaO ، Eu ، Nb ، TiO_2 و V متحرك ک هستند و در ترازدا تهی شده‌اند.



شکل ۷- الگوهای عناصر کمیاب بهنجار شده با شیل استرالیی پس از آرکن میانگین (PAAS) (Taylor and McLennan, 1985) (PAAS) برای سازند سروک، ترازدا و بوکسیت.



شکل ۶- نمودارهای توزیع و منحنی‌های رگرسیون حاصل از ارزیابی عناصر Al_2O_3 ، Zr و TiO_2 در سازند سروک، ترازدا و بوکسیت با همیگر.

کتابخانه

آفتابی، س.ع.، ۱۳۸۳- زمین‌شناسی ایران، انتشارات سازمان زمین‌شناسی و اکتشافات معدنی کشور، ۵۸۶ صفحه.
 مطیعی، م.، ۱۳۷۲- زمین‌شناسی ایران (چینه‌شناسی زاگرس)، انتشارات سازمان زمین‌شناسی و اکتشافات معدنی کشور، ۵۳۶ صفحه.
 وزارت معدن و فلزات، ۱۳۷۳- طرح تولید آلومینا از بوکسیت (ارزیابی ذخیره کانسارهای نواحی سرفاریاب، صدر آباد و سرچاهو).

References

- Alavi, M., 2004- Regional stratigraphy of the Zagros fold-thrust belt of Iran and its proforland evolution, *American Journal of Science*, 304: 1-20.
- Bardossy, G., 1982- Karst bauxites; bauxite deposits of carbonate rocks, Amsterdam, Elsevier.
- Bardossy, G., 1984- European bauxite deposits. In: Jacob Leonard Jr (ed.), *Proceedings of 1984 Bauxite Symposium*, Los Angeles, California, Society of Mining Engineers, New York, 411-435.
- Brimhall, G. H., Lewis, C. J., Ague, J. J., Dietrich, W. E., Hampel, J. & Rix, P., 1988- Metal enrichment in bauxites by deposition of chemically mature aeolian dust, *Nature*, 333: 819-824.
- Bushinsky, G. I. & Zakrutkin, V. E., 1978- Geochemistry of bauxites of the South Timan, Nauka, Moscow, 122 pp. (in Russian).
- D'Argenio, B. & Mindszenty, A., 1995- Bauxites and related paleokarst: Tectonic and climatic event markers at regional unconformities, *Eclogae Geologicae Helvetiae*, 88: 453-499.
- Gow, N. N., & Lozej, G. P., 1993- Bauxite, *Geosci. Can.*, 20: 9-16.
- Hill, I. G., Worden, R. H. & Meighan, I. G., 2000- Geochemical evolution of a paleolaterite: The Interbauxitic Formation, Northern Ireland, *Chem. Geol.*, 166: 65-84.
- Iranian Oil Operating Companies, 1973- Dehdasht geological compilation map, 1 : 100000.
- Jennings, J. N., 1985- Karst, The MIT Press, Massachusetts.
- Karadag, M. M., Arik, F. & Ozturk, A., 2006- A geochemical and geostatistical approach to the origin of the Catmakaya (Seydisehir - Türkiye) bauxite deposit, *Yerbilimleri*, 27 (2): 63-85, (in Turkish).
- Khadikkar, S. A. & Basavaiah, N., 2004- Morphology, mineralogy and magnetic susceptibility of epikarst-terra rossa developed in late Quaternary aeolianite deposits of southeastern Saurashtra, India, *Geomorphology*, 58: 339-355.
- Lelong, F., Tardy, Y., Grandin, G., Trescases, J. J. & Boulange, B., 1976- Pedogenesis, chemical weathering and processes of formation of some supergene ore deposits, Reprinted from: *Handbook of Stratabound and Stratiform Ore Deposits*. edited by K.H. Wolf, Elsevier Scientific Publishing Company, Amsterdam, Printed in The Netherlands.
- Liaghat, S., Hosseini, M. & Zaravandi, A., 2003- Determination of the origin and mass change geochemistry during bauxitization process at the Hangam deposit, SW Iran, *Geochemical Journal*, 37: 627-637.
- Lyew-Ayee, P. A., 1986- A case for the volcanic origin of Jamaican bauxites, *Proc. Bauxite Symposium VI*, 1986, *J. Geol. Soc. Jamaica*, 9-39.
- MacLean, W. H., 1990- Mass change calculations in altered rock series, *Min. Dep.*, 25: 44-49.
- MacLean, W. H. & Barrett, T. J., 1993- Lithogeochemical techniques using immobile elements, *J. Explor. Geochem.*, 48: 109-133.
- MacLean, W. H. & Kranidiotis, P., 1987- Immobile elements as monitors of mass transfer in hydrothermal alteration: Phelps Dodge massive sulfide deposit, Matagami, Quebec, *Econ. Geol.*, 82: 951-962.
- MacLean, W. H., Bonavia, F. F. & Sanna, G., 1997- Argillite debris converted to bauxite during karst weathering: evidence from immobile element geochemistry at the Olmedo Deposit, Sardinia, *Min. Dep.*, 32: 607-616.
- Miko, S., Durn, G. & Prohic, E., 1999- Evolution of terra rossa geochemical baselines from Cretaceous karst region, *J. Geochem. Explor.*, 66: 173-182.
- Mordberg, L. E., 1993a- Associations of trace elements in bauxites and evolution of conditions of bauxite formation. In: S. Ishihara, T. Urabe and H. Ohmoto (Eds.), *Proceedings of the 29th International Geological Congress*, 1992, *Resour. Geol. Spec. Iss.*, 15: 421-433.
- Mordberg, L. E., 1996- Geochemistry of trace elements in Paleozoic bauxite profiles in Northern Russia, *J. Geochem. Explor.*, 57: 187-199.
- Mylorie, J. E. & Carew, J. L., 1995- Karst development on carbonate islands. In: D. Budd, P.M. Harris and A. Saller. (eds.), *Unconformities and Porosity in Carbonate Strata*. AAPG Memoir, Tulsa, 63: 55-76.
- Ozturk, H., Hein, J. R. & Hanilci, N., 2002- Genesis of the Dogankuzu and Mortas Bauxite Deposits, Taurides, Turkey: Separation of Al, Fe, and Mn and Implications for Passive Margin Metallogeny, *Econ. Geol.*, 97: 1063-1077.
- Paktunc, A. D., 1998- MODAN: an interactive computer program for estimating mineral quantities based on bulk composition, *Computers & Geosciences*, 24 (5): 425-431.
- Paktunc, A. D., 2001- MODAN: a computer program for estimating mineral quantities based on bulk composition: windows version, *Computers & Geosciences*, 27: 883-886.
- Pye, K., 1988- Bauxites gathering dust, *Nature*, 333: 300-301.
- Sastri, G. G. K. & Sastri, C. S., 1982- Chemical characteristics and evolution of the laterite profile in Hazaridadar Bauxite Plateau, Madhya Pradesh, India, *Econ. Geol.*, 77: 154-161.
- Stocklin, J. & Setudehnia, A., 1977- Stratigraphic Lexicon of Iran, Ministry of Information and Tourism Press, 376 pp.
- Taylor, S. R. & McLennan, S. M., 1985- The Continental Crust: Its Composition and Evolution. Oxford, Blackwell Scientific Publishing, 312 p.
- Temur, S., 2000- Ore Deposits, Nobel Publ., 208 pp.
- Temur, S., 2006- A geochemical approach to parent rocks of the Masatdagı diasporic bauxite, Alanya, Antalya, Southern Turkey, *Geochemistry International*, 44: 941-952.
- Temur, S., Orhan, S. H. & Kurt, H., 2005- Mass and volume change calculations of the Masatdagı (Alanya-Antalya) bauxites from Southern Turkey, *Geochem. Intern.*, 43: 202-210.
- Valeton, I., Biermann, M., Reche, R. & Rosenberg, F., 1987- Genesis of nickel laterites and bauxites in Greece during the Jurassic and Cretaceous, and their relation to ultrabasic parent rocks, *Ore Geol. Rev.*, 2: 359-404.

A Geochemical and Geostatistical Approach to the Origin of the Sarfaryab Bauxite Deposits, Kohgiloyeh-va-Boyerahmad Province, SW Iran

R. Elyaei^{*} & M. Latifi[†]

^{*}Geology Department, Islamic Azad University, Behbahan Branch, Behbahan, Iran

[†]Geology Department, Islamic Azad University, North Tehran Branch, Tehran, Iran

Received: 2007 September 16 Accepted: 2009 July 21

Abstract

The Sarfaryab bauxite deposits occur in karstic depressions at the top of the Mississippian to Lower Turonian Barvak Formation, which are overlain by the limestones of the Gachsaran Ilam Formation. In order to determine the possible source rocks of the Sarfaryab bauxite deposits, a few samples were collected from Barvak Formation, terra rossa and bauxite ore and geochemically and geostatistically analysed. Plots of chemical data and correlation coefficients show that Al, Ti, Zr, Nb, Cr and V were immobile during the bauxitization process. In the scatter diagrams of Zr and TiO₂ versus Al₂O₃, regression lines pass through the origin and terra rossa falls between the Barvak Formation and bauxite. Based on this research, it can be stated that the source rock of the Sarfaryab bauxite deposits is the Barvak Formation and terra rossa is an intermediate product during limestone-bauxite transformation. Post-Turonian uplift had exposed recently deposited limestones of the Barvak Formation to karst weathering, and a layer of argillaceous debris accumulated on its surface and was partly converted to bauxite. Subidence followed, and the bauxite was preserved by the deposition of limestones of the Ilam Formation. Uplift in Pliocene time, with ensuing erosion, exposed the bauxite deposits to their present situation.

Keywords: Bauxite, Geochemistry, Geostatistics, Terra rossa, Barvak Formation, Sarfaryab.

For Printed Version see pages 91 to 96

*Corresponding author: R. Elyaei; E-mail: eleyaei@gmail.com